



30th Conference of Experimental Stress Analysis
30. konference o experimentální analýze napětí
2. - 5. 6. 1992 ČVUT Praha Czechoslovakia

J-INTEGRAL DETERMINATION BY CAUSTICS - APPLICABILITY
OF THE METHOD

KAUSTICKÉ URČENIE J-INTEGRÁLU - ANALÝZA POUŽITEĽNOSTI
METÓDY

Ivánková O., Držík M.

Theoretical/experimental analysis of the optical method of shadow visualization applied to the determination of the value of J-integral. Importance of the knowledge of the region where the theory is applicable

Keywords: J-integral, shadow visualization, HRR-theory

Klasická optická metóda tieňovej vizualizácie sa ukázala úspešne aplikovateľnou pri riešení problémov experimentálnej lomovej mechaniky. V poslednej dobe sa objavili pokusy využiť metódu aj pri určení J-integrálu [1]. Touto veličinou možeme charakterizovať pružnoplastický stav v okolí trhliny.

ZáZNAM tieňových obrazcov je z experimentálneho hľadiska veľmi jednoduchý, metóde sú však vlastné niektoré obmedzenia a approximácie, ktoré pri interpretácii nameraných dát musíme bráť do úvahy.

Deformovanú plochu v okolí špičky trhliny, ktorá sa vytvorí vplyvom zaťaženia, opisuje funkcia $F/x_1/ /x_2 = r \cos \theta$, $x_2 = r \sin \theta$. Ak dopadajúce lúče sú rovnobežné s optickou

osou, pre odrazené lúče platí známy vzťah /paraxiálne lúče/

$$\vec{x}_i = x_i - 2p \frac{\partial F}{\partial x_i}, \quad /1/$$

kde označenia sú na Obr.1. Využitím zákona lomu pre lúče idúce šošovkou dostaneme výraz vyjadrujúci súradnice bodu dopadu lúča v rovine x_i'' tienidla

$$x_i'' = -/M + \frac{A}{f} /x_i + \frac{2A}{M} \frac{\partial F}{\partial x_i}, \quad /2/$$

kde M je zväčšenie obrazu predmetu v obrazovej rovine a A je posunutie tienidla z tejto roviny nutné pre vizualizáciu tieňového obrazca.

Z optiky vieme, že pre hraničnú krivku tieňového obrazca /kaustiku/ musí byť splnená podmienka o rovnosti nule determinantu Jakobiánu rovníc /2/

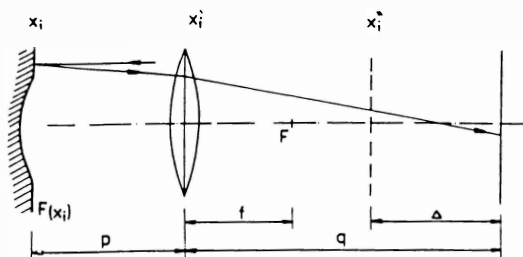
$$/M + \frac{A}{f}/^2 - 2/M + \frac{A}{f} /A/M / \frac{\partial^2 F}{\partial x_1^2} + \frac{\partial^2 F}{\partial x_2^2} / + \\ + 4/A/M / \frac{\partial^2 F}{\partial x_1^2} \frac{\partial^2 F}{\partial x_2^2} - \frac{\partial^2 F}{\partial x_1 \partial x_2} \frac{\partial^2 F}{\partial x_1 \partial x_2} / = 0 \quad /3/$$

Táto optická rovnica platí všeobecne pre pruzné i plastické napäťové pomery. Pomocou rovníc /3/ a /2/ môžeme priradiť každému bodu na kaustickej krivke zodpovedajúci východzí bod na teleso, kde sa daný lúč odrazil.

Pre materiály, ktorých zatažovací diagram môže byť opísaný Ramberg-Osgoodovým pružnoplastickým modelom, možno pre oblasť okolo špičky trhliny použiť Hutchinson-Rice-Rosengrenovu /HRR/ teóriu [2]. Funkciu povrchu potom vyjadrieme ako

$$F/r, \theta / = - \frac{G_s t}{2E} \frac{JE}{G_s^2 I_n r} /^{n/n+1} E_{ij} / \theta, n /, \quad /4/$$

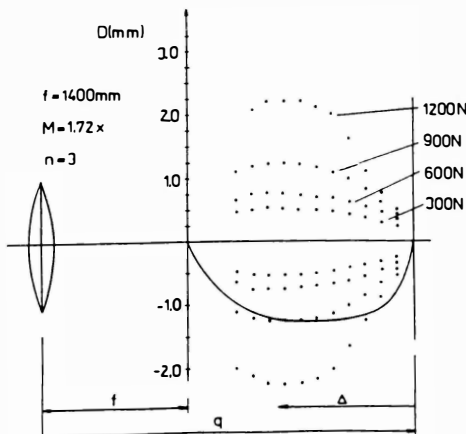
kde t je hrívka vzorky, E Youngov modul, G_s je napätie na mezi klzu, n je koeficient spevnenia, E_{ij} , I_n sú funkcie [1]. Dosadením /4/ do /3/ a /2/ získame výraz vyjadrujúci závislosť priemeru kaustiky a parametra A



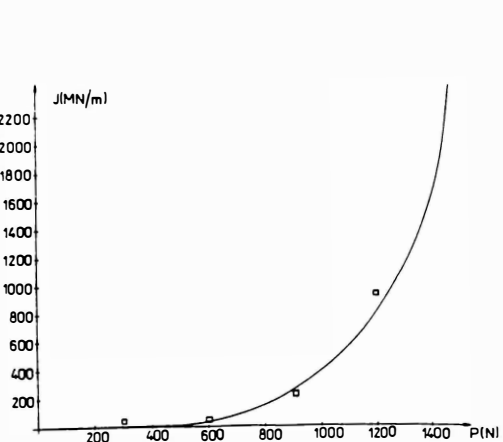
Obr.1



Obr.2



Obr.3



Obr.4

$$D = \left(\frac{JE}{S_n \sigma_0^2} \right)^{n/3n+2} \left(\frac{\sigma_t}{E} \right)^{n+1/3n+2} / M + \frac{\Delta}{f} / \frac{\Delta}{M/M + \frac{\Delta}{f}} \right)^{n+1/3n+2} / 5 /$$

Experiment s meraním J-integrálu sme uskutočnili na trojbočove zatažovanom ~~escalovom~~ nosníku. Tieňové obrazce /Obr.2/ sa fotografovali tak, že objektív bol v stabilnej vzdialenosť od modelu a pohybovalo sa teleso fotoaparátu s filmom.

Hodnoty priemerov premietnutých obrazcov sú na Obr.3. Je tu dobre vidieť zmenu priemera pri posúvaní roviny tienidla. Treba zdôrazniť, že každej z týchto rovín zodpovedá miesto na telesе, kde sa vlastne meranie uskutočňuje. Na Obr.3 je nakreslený aj teoretický priebeh krivky podľa /5/. Porovnaním s reálne získanými hodnotami vidíme, že teóriu HRR je možné využiť iba pre určitú vzdialosť Δ t.j. v určitej vzdialnosti od špičky trhliny. Tento výsledok bolo možné očakávať, pretože HRR teória neplatí v bezprostrednej blízkosti špičky, ako aj relativne ďaleko od nej. Inak povedané pri využívaní HRR teórie na vyhodnotenie J-integrálu potrebujeme poznáť oblasť v okolí špičky trhliny, kde táto teória dostatočne presne opisuje napäťový stav.

Vyhodnotené veličiny J-integrálu pre rôzne zataženia ukazuje Obr.4 v porovnaní s grafickou závislosťou získanou numerickým výpočtom použitím metódy konečných prvkov.

Literatúra

- [1] Rosakis A.J., Ma, C.C., Freund L.B., J. Appl. Mech. 105, 1983
- [2] Hutchinson J.W., J. Mech. Phys. Solids, 16, 1968

Ing. Ol'ga Ivánková, Katedra stavebnej mechaniky STU, 813 68 Bratislava, Mgr. Milan Držík, CSc, ÚSTARCH SAV, 842 20 Bratislava